

# 一般化文対称性

について

山口 哲

1. 導入
2. 対称性とトポロジカル欠陥
3. 2次元 Ising 模型
4. 高次形式対称性
5. 高次元の非可逆対称性

文献  
レビュー (ほんの一部. 他の文献は [1] の文献  
が参考になる)

[1] Shao, 2308.00747

非可逆対称性のLT<sup>2</sup>-  
文献も充実してい3.

この講義と特に関係の深いオリジナル論文

[2] Koide, Nagoya, 5Y, 2109.05992

[3] Choi, Cordova, Hsin, Lam, Shao  
2111.01139

[4] Kaidi, Ohmori, Zheng, 2111.01141

[5] Aasen, Mong, Fendley, 1601.07185

2008.08598

[6] Bhardwaj, Tachikawa, 1704.02330

[7] Chang, Lin, Shao, Wan, Yih, 1802.04445

# 1. 導入

## ☆ 対称性とは？

場の理論で“対称性とは何か？”

たくさん の 答え が あ り う る。

そのうち 3つ

① 場 中 , 作用  $S(\phi)$

変換  $\phi \rightarrow \phi'$  で “ $S(\phi) = S(\phi')$  となるもの

② Hamiltonian  $\hat{H}$ .

(反) ユニタリ-演算子  $\hat{U}$  で “ $\hat{H}\hat{U} - \hat{U}\hat{H}$  となるもの

③ トポロジカル欠陥 (後で)

## ①, ② の不便な点

大域的な記述である

① 時空全体で 一斉に 変換(なければならぬ)。

例) 2次元の共形対称性?? (知りうる限り)

複素座標  $z \rightarrow f(z)$  正則

メビウス変換以外は 1対1 ではない。

変換ではない!?

$$② \hat{H} = \int d^d x \hat{T}_{00}$$

↑

→ 空間全体に亘るか  
巨大な演算子

(大域的対称性だ  $H$  )

局所的な記述が望ましい)

④ 連続的対称性、無限小変換の場合

$$\exists J^M(x) \quad \partial_\mu J^M(x) = 0$$

局所的!!

離散的な場合？

③ (内部対称性) トポロジカル欠陥

## ☆ 対称性の使い方の例

② の記述、量子力学で

命題  $\hat{U}, \hat{V}$  :  $C=1$  - ,  $\hat{H}$ と可換

$$\hat{U}\hat{V} = a\hat{V}\hat{U}, \quad a: C\text{数}, \quad a \neq 1$$

$\Rightarrow$  すべての準位 (特に基底状態) は  
縮退していき

( 't Hooft anomaly matching condition)

証明

$\exists |4\rangle, \hat{H}|4\rangle = E|4\rangle$ , 縮退なしと仮定

$$\hat{H}\hat{U}|4\rangle = \hat{U}\hat{H}|4\rangle = E\hat{U}|4\rangle$$

$\hat{U}|4\rangle$  が  $E$  の固有状態

$$\hat{U}|4\rangle = u|4\rangle \quad \exists u \in C, |u|=1$$

同様に  $\exists v \in \mathbb{C}, |v|=1$

$$\hat{V}|4\rangle = v|4\rangle$$

$$\hat{U}\hat{V}|4\rangle = a\hat{V}\hat{U}|4\rangle = auv|4\rangle$$

$\parallel$

$$uv|4\rangle$$

$a \neq 1$

→ 矛盾

( $1 \times 1$  行列は非可換になれない)



---

この命題  $\hat{U}, \hat{V}$  がユニタリ-でなかったら?  
(対称性ではない)

似たような命題が成り立つ!!  $\rightsquigarrow$  便て  
「非可逆対称性」

一般化対称性:

$\hat{H}$  可換 ( $\Rightarrow$  トポロジカル)

他の条件はゆるめても結構便て.

# × Euclidean の定式化

Lorentzian の理論とは別の「Euclidean の理論」  
を考えているわけではない。

「理論」は同じ、定式化、考えやすい量が違う。

例)  $\text{Tr } e^{-\beta \hat{H}} = \int D\phi e^{-S_E(\phi)}$

↑  
Euclidean, 時間方向周期  $\beta$

## × 演算子関係式

例:  $\partial_\mu J^\mu(x) = 0$

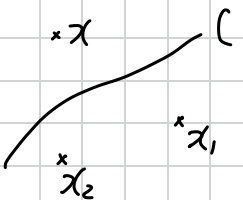
量子論で

↑ 各記

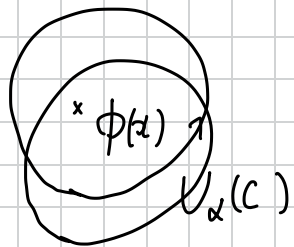
$$\left( \langle \partial_\mu J^\mu(x) O_1(x_1) \dots W(C) \dots \rangle = 0 \right)$$

$x$  は  $x_1, \dots, C, \dots$  (他の演算子のとくに)

とは異なる



例)



$$= e^{i\alpha} {}^x\phi_{\alpha(C)}$$

$$\langle U_\alpha(C) \phi(x) \dots \rangle = e^{i\alpha} \langle \phi(x) \dots \rangle$$

↑ 任意 ← 回り ↑ 任意

(C の内側だけ)  
入、出ない。

# 2. 対称性とトポロジカル欠陥

## ☆ 欠陥



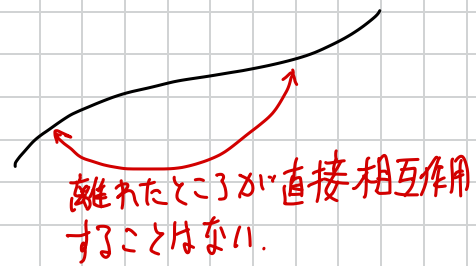
$d$  次元 時空内、他のところと性質が異なった

$$\dim \text{(次元)} \quad , \quad \text{codim} = d - (\dim)$$

異なる部分の次元

制限：相互作用は局所的

広い意味の「演算子」



例：局所演算子（0次元欠陥）

※ Lagrangian に出てくる場の汎関数で  
書かれてるものも書いていないものもある。

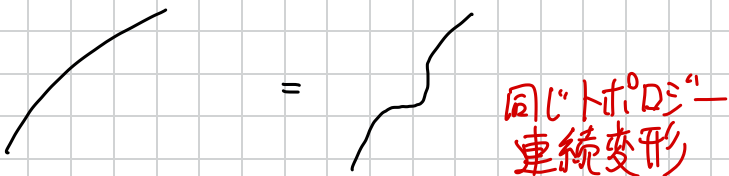
. ハーミテジ理論の Wilson loop

$$\text{Tr}_R \text{P exp}(i \oint A)$$

※ 欠陥は動的な物体ではない

# ★ 対称性とトポロジカル欠陥 その1

。 トポロジカル欠陥 = 連続変形で値を変えない  
欠陥



やることは

$$\textcircled{2} \quad \hat{H}\hat{U} = \hat{U}\hat{H} \quad \text{と} \quad \textcircled{4} \quad \partial_\mu J^\mu = 0$$

↓

③ トポロジカル欠陥

④ d次元場の理論、連続対称性の場合

$$\hat{U} = e^{i\alpha \hat{Q}}, \quad \hat{Q} = \int_{\text{空間}}^d \hat{j}^0 = -i \int_{\text{空間}}^d \hat{j}^d$$

$$\hat{j}^d := i \hat{j}^0$$

\* Euclidean 形式で「エルミート共役」  
は気をつけなければならぬ。

Heisenberg っぽい演算子

$$\hat{U}(t) := e^{t\hat{H}} \hat{U} e^{-t\hat{H}} = \hat{U}$$

↑ 対称性だから

$\Rightarrow$  Euclidean path integral)

$$\begin{array}{c} \uparrow \\ U \end{array} \xrightarrow{\quad} \begin{array}{c} \uparrow \\ U \end{array}$$

一般化

$M$ : 向きのついた codim 1 surface

$$U(M) := e^{i\alpha Q(M)}$$

$$Q(M) := -i \int_M dS_\mu J^\mu \quad (= -i \int_M j)$$

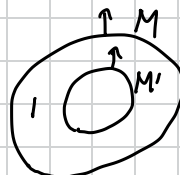
$$j := \frac{1}{(d-1)!} \epsilon_{\mu_1 \dots \mu_d} J^{\mu_1} \dots J^{\mu_d}$$

2次元 codim 1  $M, M'$

$$\times dx^{M_1} \wedge \dots \wedge dx^{M_{d-1}}$$

$$\text{s.t. } \exists D \quad \partial D = M \cup (-M')$$

$\curvearrowleft M'$  の向きを反対にした  $t$  の



$$\Rightarrow Q(M) = Q(M')$$

$$(\because Q(M) - Q(M') =$$

$$= -i \int_D d^d x \partial_\mu J^\mu = 0)$$

$$U(M) = U(M')$$

(特にトポロジカル)

こういふ  $U(M)$  「対称性欠陥」 (单にトポロジカルより) 強い条件

$$\cdot Q(-M) = -Q(M)$$

$$\cdot U(-M) =: \bar{U}(M)$$

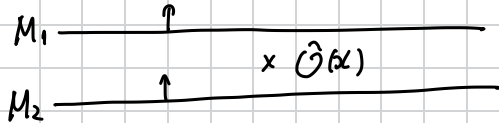
$$\begin{array}{c} \uparrow \\ U \end{array} \quad \begin{array}{c} \uparrow \\ \bar{U} \end{array} = \begin{array}{c} | \\ | \end{array}$$

## 四 局所演算子への作用

$\hat{O}(x)$  局所演算子  $x = (\vec{x}, t)$

$$\hat{U} \hat{O}(x) \hat{U}^\dagger = \hat{O}'(x) \quad \left( \begin{array}{l} \text{※量子力学の教科書と異なり} \\ \text{convention} \end{array} \right)$$

II



II

$$T(\hat{U}(M_1) \hat{U}(-M_2) \hat{O}(x))$$

$\uparrow$  time ordered product



$$(T(\hat{U}(M) \hat{O}(x))) \quad M := M_1 \cup (-M_2)$$

$\leftarrow x$  と同時刻には挿入なし.

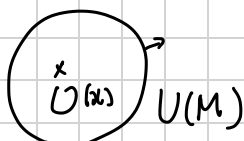
$$\langle 0 | T(\hat{U}(M) \hat{O}(x) \dots ) | 0 \rangle$$

$$= \langle 0 | T(\hat{O}'(x) \dots ) | 0 \rangle$$

↓

$$\langle U(M) O(x) \dots \rangle = \langle O'(x) \dots \rangle$$

を  $U(M) O(x) = O'(x)$  と書く。



=

$$^x \hat{O}'(x)$$

WT id の  
有限変換の一般化

↓ 実際  $\alpha$  : 無限小

$$(1 + i\alpha Q(M)) \cup(x) = \cup'(x)$$

$$i\alpha Q(M) \cup(x) = \cup'(x) - \cup(x) = : \alpha \Delta \cup(x)$$

↓  $Q(M)$  の定義

$$\int_M dS_\mu J^\mu(y) \cup(x) = \Delta \cup(x) = \int_D d^d y \delta^d(x-y) \Delta \cup(x)$$
$$= \int_D d^d y \partial_\mu J^\mu(y) \cup(x)$$



$$\partial_\mu J^\mu(y) \cup(x) = \delta^d(x-y) \Delta \cup(x)$$

WT id

( $y$ は他の操作と  
重ならない)

# ☆ 対称性とトポロジカル欠陥 その2

■

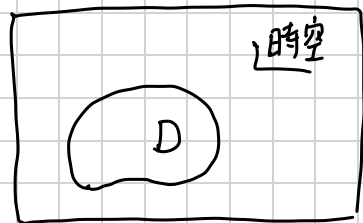
- ① から 通常の WT id を導くのと同じやり方

$G$  : 群 ,  $g \in G$  变換  $\phi \rightarrow \phi^g$

$$S(\phi^g) = S(\phi)$$

“ゲージ変換”

$$\phi'(x) = \begin{cases} \phi^g(x) & x \in D \\ \phi(x) & x \notin D \end{cases}$$



D: 領域

$$Z = \int D\phi e^{-S(\phi)}$$

) 文字を変えた

$$= \int D\phi' e^{-S(\phi')}$$

) 代入

$$= \int D\phi e^{-S(\phi')} \quad (\text{測度は不变を仮定})$$

$$S_{D,g}(\phi) := S(\phi')$$

$$\text{一般に } S_{D,g}(\phi) \neq S(\phi)$$

しかし異なるのは  $\partial D = M$  のみ

外部 :  $\phi' = \phi$

内部 : 対称性なので

$$U_{g^{-1}}(M) := e^{S(\phi) - S_{D,g}(\phi)}$$

M 上に局在

$$Z = \int D\phi e^{-S(\phi)} U_{g^{-1}}(M)$$

両辺  $\frac{1}{Z}$

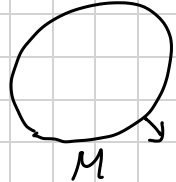
$$\langle U_{g^{-1}}(M) \rangle = 1$$

。  $D$  の外に他の演算子が入るのも同様

$$\langle U_{g^{-1}}(M) \dots \rangle = \langle \dots \rangle$$

$$\begin{array}{c} \text{○} \\ U_{g^{-1}}(M) \end{array} = 1$$

$$(M = \partial D, \exists D)$$



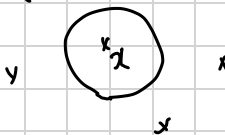
「対称性欠陥」

# 演算子への作用

$$Z \langle O(x) \dots \rangle = \int D\phi \, O(x) \dots e^{-S(\phi)}$$

さっきと同じ

$$\begin{aligned} x \in D \\ \dots \notin D \\ \dots &= \int D\phi \, O^g(x) U_{g^{-1}}(M) \dots e^{-S(\phi)} \end{aligned}$$



↓

$$\langle O(x) \dots \rangle = \langle U_{g^{-1}}(M) O^g(x) \dots \rangle$$

$O(x)$  は  $\forall$  局所演算子,  $\forall g \in G$  などの  $z$   
文字を変えた

$$\begin{array}{ccc} x O(x) & = & x O^g(x) \\ U_g(M) & & \end{array}$$

$O_a(x)$ : すべての局所演算子の基底

$$O_a^g(x) = O_b(x) R(g)^b{}_a$$

$R(g)$ :  $G$  の表現

## ④ 背景ゲージ場

(簡単のため) 連続 対称性

背景ゲージ場  $A$

$$S(\phi, A) : S(\phi, A=0) = S(\phi)$$

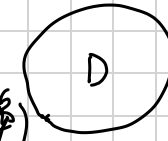
$$Z(A) = \int D\phi e^{-S(\phi, A)}$$

ゲージ変換 (ゲージ不变性を仮定)

$$Z(A') = \int D\phi e^{-S(\phi, A')}$$

$$= Z(A) \quad (A=0 \text{ で})$$

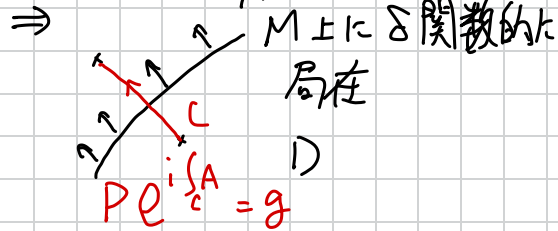
さきのゲージ変換



たとえし.

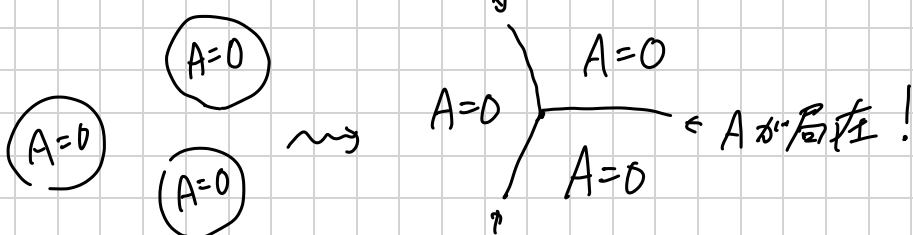
$$F=0 \Rightarrow F'=0$$

"flat"



対称性欠陥の配位  $\Rightarrow$  flat な背景ゲージ場

逆に  
flat を 背景ゲージ場  $\xrightarrow{\text{ゲージ変換}} \text{局所的に } A=0$



$\leftarrow A \text{が} "局在"$   
 $P e^{i \oint_{C_1} A} = 1 \Rightarrow P e^{i \oint_{C_1} A} = P e^{i \oint_{C_2} A}$   
 $\Rightarrow$  対称性欠陥  $U_g$  ( $\Leftarrow : g$ )

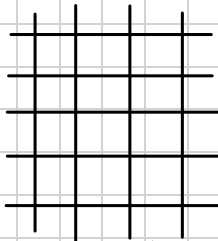
flat な背景ゲージ場の配位

$\Rightarrow$  (ミンクロンを含む) 対称性欠陥の配位

トポロジカルジャンクション

$\Rightarrow$

# Ising の spin flip の例)



各サブ*i*に自由度  $a_i = 0, 1$

各リンク *$\langle ij \rangle$* に相互作用  $K(-1)^{a_i + a_j}$

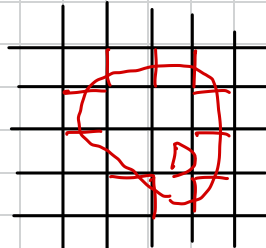
$$Z = \sum_{\{a\}} \exp \left( K \sum_{\langle ij \rangle} (-1)^{a_i + a_j} \right)$$

↑すべての配位につけての和

spin flip  $a_i \rightarrow a_i + 1 \pmod{2}$

$$a'_i = \begin{cases} a_i + 1 & i \in D \\ a_i & i \notin D \end{cases}$$

$$\sum_{\{a\}} = \sum_{\{a'\}}$$



リンク  $\langle ij \rangle$   $i, j \in D$ ,  $i, j \notin D \Rightarrow$  相互作用は不变

境界

$$\boxed{i} \boxed{j} = \exp \left( -K(-1)^{a_i + a_j} \right)$$

前と同様に

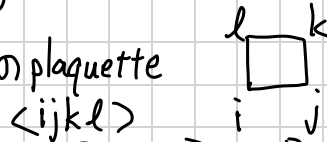
$$\sigma_i := (-1)^{a_i}$$

$${}^x \sigma_i = -1 \quad {}^x \sigma_i$$

○ ハーヒー場の配位

$$\text{各 } i \in \mathcal{I} \langle ij \rangle \vdash B_{ij} = 0, 1$$

flat  $\Leftrightarrow$  すべての plaquette



$$\langle i j k l \rangle \quad B_{ij} + B_{jk} + B_{kl} + B_{li} = 0 \pmod{2}$$

ゲージ変換

パラメータ: 各サブ  $i$   $\lambda_i = 0, 1$

$$B_{ij} \rightarrow B_{ij} + \lambda_i + \lambda_j \pmod{2}$$

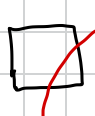
$$a_i \rightarrow a_i + \lambda_i \pmod{2}$$

結合:  $i \in \mathcal{I} \langle ij \rangle$

$$\exp(K(-1)^{a_i + a_j + B_{ij}})$$

○ 対称性欠陥  $\Leftrightarrow$  flat な  $B$  の配位

( $\Rightarrow$ ) :  $\exists i, j$  欠陥と交わる  $i \in \mathcal{I}$   $B_{ij} = 1$ , それ以外  $B_{ij} = 0$



plaquette: 必ず出でる  $\Rightarrow$  偶数個  $B=1$   
 $\Rightarrow$  flat

# ☆ 対称性欠陥のまとめ

普通の対称性

$\forall g \in G, M : \text{codim } 1, \text{ 向きのついた部分多様体}$   
 $\rightarrow U_g(M) \text{ トポロジカル欠陥}$

• 群構造

$$\begin{array}{c|c} \leftarrow & \leftarrow \\ \hline U_g & U_h \end{array} = \begin{array}{c} | \\ U_{gh} \end{array}$$

$$U_1 = 1 \quad (\text{自明な欠陥})$$

$$\begin{array}{c|c} \leftarrow & \rightarrow \\ \hline U_g & U_{g^{-1}} \end{array}$$

• 局所演算子への作用

$$\begin{array}{c} * \\ \circlearrowleft \\ U_a \\ \hline U_g \end{array} = \sum_b R(g)^b {}_a \begin{array}{c} * \\ \circlearrowright \\ U_b \end{array}$$

# ☆ 一般化対称性

普通の対称性  $\longrightarrow$  トポロジカル欠陥



↑  
「一般化対称性」  
と呼ばう！

- $\text{codim } 1 \Rightarrow \text{codim } p+1$

" $p$ -form symmetry"  
 $p$ -形式対称性

- 群構造  $\Rightarrow$  群構造なし

"non-invertible symmetry"  
非可逆対称性

かけ算，単位元あり，逆元なし  
(fusion) (自明な欠陥)

# 3. 2次元 Ising 模型

。やること

- 2次元 Ising spin flip  $\mathbb{Z}_2$  対称性

ケーリング

$$\text{Ising} / \mathbb{Z}_2 \xleftarrow{\exists} \text{双対 } \mathbb{Z}_2 \text{ 大域的対称性}$$

- Kramers-Wannier 双対性

$\Rightarrow$  非可逆対称性の例)

## ★ 2次元 Ising と $\mathbb{Z}_2$ ケーリング

### ■ Ising 模型

$$Z_{\text{Ising}} = \sum_{\{a_i\}} \exp\left(K \sum_{\langle ij \rangle} (-1)^{a_i + a_j}\right)$$

$$\text{spin flip } a_i \rightarrow a_i + 1 \pmod{2}$$

### ■ Spin flip の（トポロジカルな）ケーリング

さき導入した背景ゲージ場のすべての配位を足しあげて

$$Z_{\text{Ising}/\mathbb{Z}_2} = \frac{1}{2^V} \sum_{\{a_i, b_j\}} \exp\left(K \sum_{\langle ij \rangle} (-1)^{a_i + a_j + b_{ij}}\right)$$

ケーリング積

$$\times \prod_{\substack{\text{plaquette} \\ \langle 1234 \rangle}} \delta_{b_1 + b_2 + b_3 + b_4, 0} \quad \text{拘束}$$

。ゲージ体積：それぞれのサイトに  $\lambda_i = 0, 1$  の2とあり  
 $\rightarrow 2^V$

。拘束  $S_{b,0}^{\text{mod } 2} := \begin{cases} 0 & b = 1 \pmod 2 \\ 1 & b = 0 \pmod 2 \end{cases}$

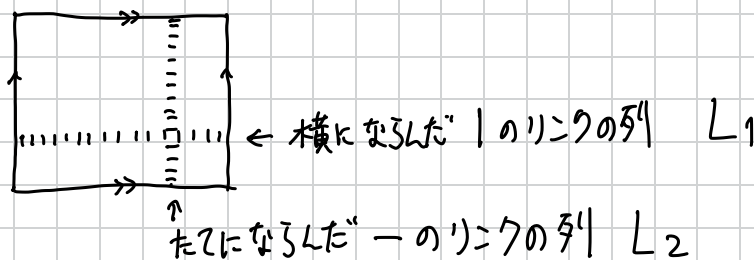
$$= \lim_{g \rightarrow 0} \exp\left(\frac{1}{g^2} \left( (-1)^b - 1 \right) \right)$$

Wilson の plaquette 作用で“弱結合極限をとったもの”。

## ■ ゲージ固定

flat な  $b$  の配位が与えられたとき、

(1) 水平、垂直それぞれに 1 ニヶの列を選ぶ、



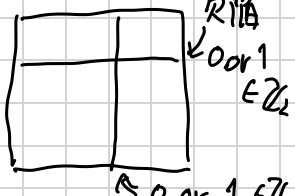
(2) ゲージを選ぼう

$$b_{l_1} = 0, \quad l \notin L_1, L_2$$

(3) 4通りの可能性

$$(b_{l_1}, b_{l_2}) = \begin{cases} (0, 0) \\ (1, 0) \\ (0, 1) \\ (1, 1) \end{cases}$$

for  $l_1 \in L_1, l_2 \in L_2$



$$(0, 0) \Rightarrow \boxed{\phantom{0}}$$

$$(1, 0) \Rightarrow \boxed{-}$$

$$(0, 1) \Rightarrow \boxed{|}$$

$$(1, 1) \Rightarrow \boxed{+}$$

(4) 残り、2つ目 "ゲージ対称性"

$$\lambda_i = 0 \text{ for all } i$$

$$\lambda_i = 1 \quad \vdots$$

$$\downarrow \\ Z_{\text{Ising}} / \mathbb{Z}_2 = \frac{1}{2} \left( \boxed{\phantom{0}} + \boxed{-} + \boxed{|} + \boxed{+} \right)$$

※

。ゲージ場に関しては格子の細かさに関係ない  
 → 連続理論に拡張可

。String とか CFT に出てく orbifold

。熱力学的な量（自由エネルギー密度 とか）

は Ising と  $\text{Ising} / \mathbb{Z}_2$  で同じ

# ☆ 双対対称性

$T$  : 2次 QFT.

大域的  $G$  (abelian, 有限) 対称性,  $\text{アーリーなし}$   
(ケーリ化可能)

命題

(1)  $T/G$  は  $\text{アーリーなし}$   $\hat{G}$  対称性がある.

$$\hat{G} := \{ G \text{の既約表現} \}$$

$\otimes T$  アーベル群にならない

$$\hat{G} \simeq G \quad (\text{カーリーなし})$$

$G$  の電荷全体

(2)  $T/G/\hat{G} \simeq T$

(1)  $T/G \Rightarrow W_{\hat{a}}(C) \quad \hat{a} \in \hat{G} \quad \text{Wilson loop}$   
(irrep)

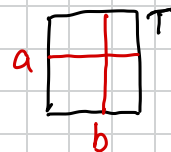
は トポロジカル欠陥, codim 1

$$\begin{array}{ccc|c} & & & \\ \hat{a} & \hat{b} & = & \hat{a} \otimes \hat{b} =: \hat{a} + \hat{b} \\ & & & \end{array} \Rightarrow \text{群構造}$$

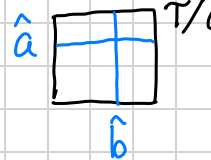
(③の意味で") 対称性

(2)

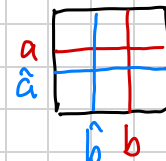
$$Z_{T/G} = \frac{1}{|G|} \sum_{a,b \in G}$$



$$Z_{T/G/\hat{G}} = \frac{1}{|\hat{G}|} \sum_{\hat{a}, \hat{b} \in \hat{G}}$$



$$= \frac{1}{|\hat{G}|} \sum_{\hat{a}, \hat{b} \in \hat{G}} \frac{1}{|G|} \sum_{a, b \in G}$$



$$\hat{a}, \hat{b} \in \hat{G}$$

$G$  の既約 (1次元) 表現

1. 次元なら  $\chi_{\hat{a}}$

$\chi_{\hat{a}}: G \rightarrow U(1)$  表現行列 = 指標

$$\chi_{\hat{a}}(a) \chi_{\hat{a}}(b) = \chi_{\hat{a}}(a+b)$$

$$\chi_{\hat{a}}(a) \chi_{\hat{b}}(a) = \chi_{\hat{a}+\hat{b}}(a)$$

$$-\text{般} \leftarrow \sum_{\hat{a} \in \hat{G}} \chi_{\hat{a}}(b) = |\hat{G}| \delta_{b,0} \quad (|\hat{G}| = |G|)$$

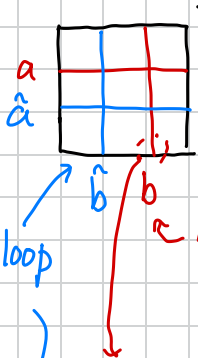
$$\sum_{\hat{a} \in \hat{G}} \chi_{\hat{a}}(b) = |\hat{G}| \delta_{b,0}$$

15) :

$$G = \mathbb{Z}_N = \{0, 1, \dots, N-1\}$$

$$\hat{G} = \mathbb{Z}_N = \{0, 1, \dots, N-1\}$$

$$\chi_{\hat{a}}(b) = e^{\frac{2\pi i}{N} \hat{a}b}$$



$$\chi_b^{\hat{a}}(\phi_B)$$

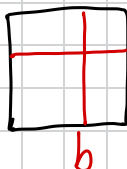
$$\frac{b}{\overline{b}} \quad \leftarrow \text{リンクが} \text{"せんし"} b$$

$$= \chi_b^{\hat{a}}(a) \chi_{\hat{a}}^{\hat{a}}(b)$$

$$\sum_b \chi_b^{\hat{a}}(a)$$

$$= |G| \delta_{a,0} \quad \sum_{\hat{a}} \chi_{\hat{a}}^{\hat{a}}(b)$$

$$= |G| \delta_{b,0}$$



$$Z_{T/G/\hat{G}} = \frac{1}{|G|^2} \sum_{a,b} |G|^2 \delta_{a,0} \delta_{b,0}$$

$$= \boxed{\square} = Z_T$$

$$T/G/\hat{G} = T$$

※ 時空が一般の閉じた Riemann 面の場合

$$Z_{T/G/\hat{G}} = \frac{1}{N^{\chi}} Z_T \quad N := |G|$$

$\chi : \Sigma$  の Euler 数

$$= 2 - 2g = V - E + F$$

$\uparrow$  ジーナス       $\uparrow$  頂点       $\uparrow$  辺       $\uparrow$  面

～～ Counter term を取ると吸収した。

$$Z_{T/G, \text{new}} = \sqrt{N}^X Z_{T/G, \text{"まつたの。}}$$

$$\sqrt{N}^X = \exp \left( \sum_{\substack{\text{左側} \\ \text{右側}}} \frac{1}{2} \log N - \sum_{\substack{\text{左側} \\ \text{右側}}} \frac{1}{2} \log N + \sum_{\substack{\text{左側} \\ \text{右側}}} \frac{1}{2} \log N \right)$$

(局所相殺項で書く)

※ G が "non-abelian" の場合、 $T/G$  理論

。 Wilson loop はトポロジカル  $W_R(C)$  R: 既約表現  
L しかし、 $\otimes$  で 群にならなかった)

⇒ 「非可逆対称性」の例)  $\text{Rep}(G)$

# ★ KW 双対性

命題

$$\frac{1}{(\sinh 2K)^{\sqrt{2}}} Z_{\text{Ising}/\mathbb{Z}_2}(K) = \frac{1}{(\sinh 2\tilde{K})^{\sqrt{2}}} Z_{\text{Ising}}(\tilde{K})$$

$$K \text{ と } \tilde{K} \text{ の関係: } \sinh 2K \sinh 2\tilde{K} = 1$$

○ 有用な公式

$$\delta_{b,0}^{\text{mod } 2} := \begin{cases} 0 & , b \equiv 1 \pmod{2} \\ 1 & , b \equiv 0 \pmod{2} \end{cases}$$

$$= \frac{1}{2} \sum_{c=0,1} (-1)^{cb} = \frac{1}{2} (1 + (-1)^b)$$

$$= \frac{1}{2} \sum_{c=0,1} e^{\pi i c b}$$

↓

plaq.  $P$  に  $C_p = 0, 1$  の自由度

$$Z_{\text{Ising}/\mathbb{Z}_2}(K) = \frac{1}{2^{2V}} \sum_{\{a\}, \{b\}, \{c\}} \exp \left[ K \sum_{\langle ij \rangle} (-1)^{a_i + a_j + b_{ij}} \right. \\ \left. + \pi i \sum_{P=\langle i:j:k:l \rangle} C_P (b_{ij} + b_{jk} + b_{kl} + b_{li}) \right]$$

## 証明

$$Z := Z_{\text{Ising}} / \mathbb{Z}_2(K)$$

ゲージ固定  $a_i = 0$

$$= \frac{1}{2^V} \sum_{\{c\}} \sum_{\{b\}} \exp \left[ K \sum_{\substack{l \\ \text{リンク}}} (-1)^{b_l} + \pi i \sum_{p=\langle ijk \rangle} c_p (b_{ij} + \dots) \right]$$

$\sum_{\{b\}}$  を先に評価

1つの  $l$  に注目  $\rightarrow$  2つの plaq. に接する

p	e	g
---	---	---

$$Z = \frac{1}{2^V} \sum_{\{c\}} \prod_{\substack{l \\ \text{リンク}}} Z_l$$

$$Z_l := \sum_{b=0,1} \exp \left( K(-1)^b + \pi i b (c_p + c_g) \right) \underset{=: C}{=} C$$

$$= e^K + (-1)^c e^{-K}$$

$$= \begin{cases} 2 \cosh K & (c=0) \\ 2 \sinh K & (c=1) \end{cases}$$

$$Z_l = 2 \cosh K (\tanh K)^c$$

:

$$= \sqrt{2 \sinh 2K} e^{\tilde{K}(-1)^c}$$

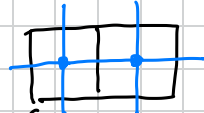
$$\begin{aligned} & \text{(公式 } (-1)^c = 1 - 2c \text{)} \\ & c=0,1 \end{aligned}$$

$$\tilde{K} : \tanh K = e^{-2\tilde{K}}$$

$$\uparrow \downarrow \\ \sinh 2K \sinh 2\tilde{K} = 1$$

$$Z = \frac{1}{2^V} \sum_{\{c\}} \prod_{l: \text{link}} Z_l$$

" dual link <pg>



$$= \frac{1}{2^V} \sum_{\{c\}} \prod_{\langle pq \rangle} \sqrt{2 \sinh 2K} e^{\tilde{K}(-1)^{c_p + c_q}}$$

$$(\# \text{ links}) = 2V$$

$$= (\sinh 2K)^V \sum_{\{c\}} \exp \left( \tilde{K} \sum_{\langle pq \rangle} (-1)^{c_p + c_q} \right)$$

$$\underbrace{\frac{(\sinh 2K)^{V/2}}{(\sinh 2\tilde{K})^{V/2}}} \quad \underbrace{Z_{\text{Ising}}(\tilde{K})}$$

↓

$$\frac{1}{(\sinh 2K)^{V/2}} Z_{\text{Ising}/Z_2}(K) = \frac{1}{(\sinh 2\tilde{K})^{V/2}} Z_{\text{Ising}}(\tilde{K})$$

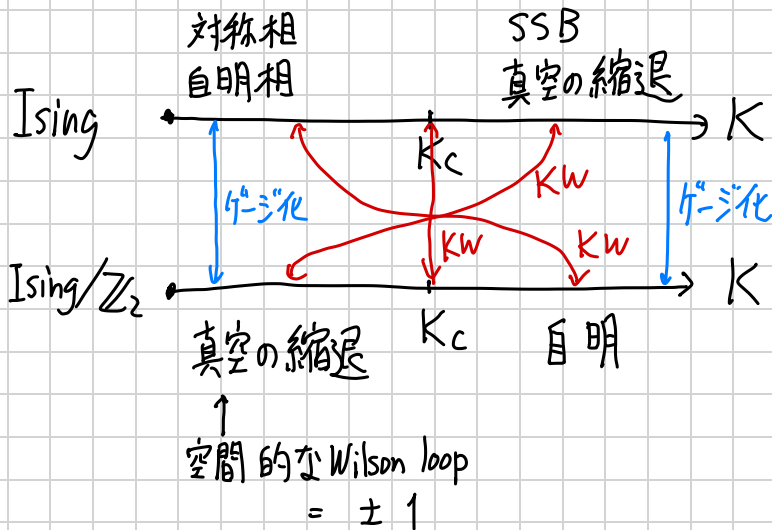


# 相構造

$$K_c : K_c = \tilde{R}_c$$

$$\sinh 2K_c = 1$$

$$\Rightarrow K_c = \frac{1}{2} \log(1+\beta)$$



## ★ Ising の演算子 (欠陥)

$$Z_{\text{Ising}/\mathbb{Z}_2}(K) \quad (\propto Z_{\text{Ising}}(\tilde{K}) \leftarrow \text{二つの言葉づかい})$$

$$= \frac{1}{2^{2V}} \sum_{\{a\}, \{b\}, \{c\}} \exp \left[ K \sum_{\langle ij \rangle} (-1)^{a_i + a_j + b_{ij}} + \pi i \sum_{P=\{1234\}} C_P (b_1 + b_2 + b_3 + b_4) \right]$$

演算子 (欠陥)

1. スピノ演算子

$$\sigma_p = (-1)^{C_p}$$

$\{C\}$  の和をとった後で見ると  
Lagrangianの中の場の次関数で書かれている

無くなっちゃってはいけない!!

$$\boxed{P} \Leftrightarrow \begin{matrix} \text{flat の代わりに} \\ S^{\text{mod } 2} \\ \sum b + 1, 0 \end{matrix}$$

2.  $b$  Wilson line = Ising "spin flip" の対称性欠陥  
 $\eta(c) = (-1)^{b_{e_1} + b_{e_2} + \dots}$

$$\left( \frac{x}{\oint_p} \right)_\eta = -1 \quad \frac{x}{\oint_p}$$

3. 無秩序スピニ (disorder spin)

$$\mu_i \sim (-1)^{a_i} \quad \text{トポロジ不变でない} \\ \mu_i = (-1)^{a_i + b_{e_i} + \dots} \quad \Rightarrow \text{Wilson line を付ける}$$

$$\overbrace{\mu_i}^{x} \quad \overbrace{\eta}^{y}$$

局所演算子だけどトポロジカル欠陥がついた。

"non-genuine" 局所演算子  
 非純粋

Ising の描像



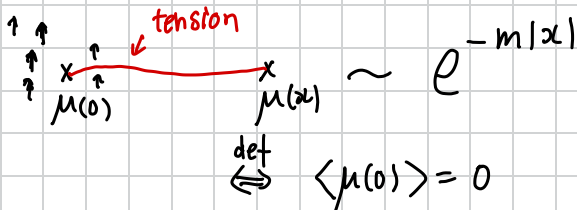
spin flip

+  $\leftarrow$  反強磁性相互作用

## 名前の由来

- 秩序相（自発的対称性の破れ）

$$\langle \sigma(0) \rangle \neq 0 \quad (\stackrel{\text{def}}{\Leftrightarrow} \lim_{|x| \rightarrow \infty} \langle \sigma(0) \sigma(x) \rangle \neq 0)$$



- 無秩序相（対称相）

$$\begin{array}{ccc} \text{Diagram showing two spins } \mu(0) \text{ and } \mu(x) \text{ with arrows pointing up, connected by a horizontal line labeled 'tension'. Below the diagram, it is stated that the average magnetization is non-zero.} & \sim \text{const} & \stackrel{\text{def}}{\Leftrightarrow} \langle \mu(0) \rangle \neq 0 \\ \text{Ising } / \mathbb{Z}_2 \sigma & & \end{array}$$

# ★ KW 欠陥



アイン"ア

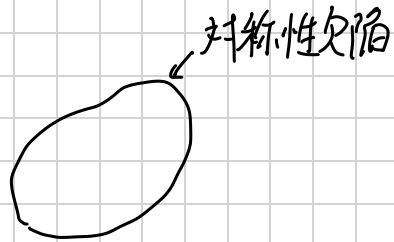
KW 双対性  $K = K_c \Rightarrow$  非可逆対称性

$\text{Ising}/\mathbb{Z}_2 \simeq \text{Ising}$

- 対称性



$\Rightarrow$



$\Downarrow$

- 一般化

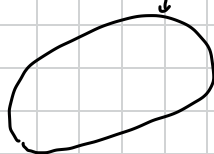


変換, ゲージ化, integrate in/out

うまく.

トポロジカル欠陥

$\Rightarrow$

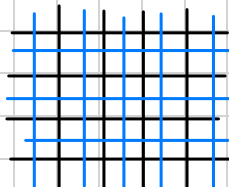


"half-space gauging"

## □ $D$ のとり方

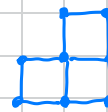
Ising のスピニが乗った 113 格子  
"active lattice"

$\Downarrow$



双対 "inactive lattice"

$D$  : inactive lattice の言葉で  
"端"をすべて含んでいい



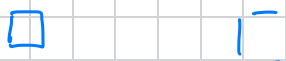
$D$  : inactive lattice の

• | □  
サイト リンク フラグメント

) の集合

次を満たす

- $P \in D \Rightarrow \partial P = \{P\text{のまわりの}4\text{つのリンク}\} \subset D$

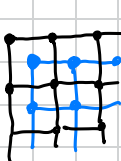


- $l \in D \Rightarrow \partial l = \{l\text{の両端のサイト}\} \subset D$



"Dirichlet boundary condition"

IC



$\leftarrow \partial D$  と IC,  
 $\partial D$  のリンク : ゲージ場 = 0  
サイト : ゲージ変換なし

## 四 $D$ 内で"ゲージ化"

(0. □  $a=0, 1$ , | 相互作用 )

$D$  内の要素に対して

1. |  $\leftarrow b=0, 1 \Rightarrow a$  で  $\gamma$  couple,  $\sum_{b=0,1}$   
"対称性欠陥"

2. 2 1 3 4  $\leftarrow \delta_{b_1+b_2+b_3+b_4, 0}^{\text{mod } 2} = \sum_{c=0,1} \frac{1}{2} (-1)^{c(b_1+\dots+b_4)}$   
"シヤニクシヨン"

$$3. \quad \square \leftarrow \text{トポロジ变换} \Rightarrow 1/\text{トポロジ体積} = \frac{1}{2}$$

#### 4. Euler counter term

$$\bullet = \sqrt{2}$$

$$- = \frac{1}{\sqrt{2}}$$

$$\square = \sqrt{2}$$

$$Z_D = \sum_{\{a\}} \sum_{\{b\}} \sum_{\{c\}} \prod_{\square \in D} \frac{\sqrt{2}}{2} \prod_{| \in D} \frac{1}{\sqrt{2}} \prod_{\bullet \in D} \frac{\sqrt{2}}{2}$$

← 拘束を  $c^2$   
 書いたときの  $\frac{1}{2}$

↑ 全体      ↑  $D$  の中たる

↑ "トポロジ体積"

$$\times \prod_{| \notin D} e^{K(-1)^{a_i + a_j}} \cdot \prod_{| \in D} e^{K(-1)^{a_i + a_j + b_{ij}}}$$

$$\times \prod_{\square \in D} (-1)^{C_p \sum_{l \in l} b_l}$$

■  $b$  の和をとる

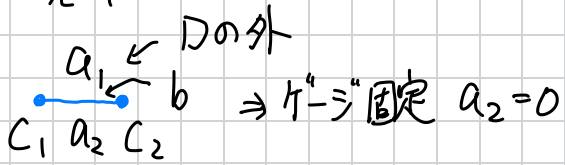
- $D$  の内部 (前と同じ)

$$\begin{array}{ccc}
 \begin{array}{c} a_1 \\ \swarrow \\ c_1 \end{array} & b & \Rightarrow \text{トポロジ固定 } a_1, a_2 = 0 \\
 \begin{array}{c} \downarrow \\ a_2 \\ \searrow \\ c_2 \end{array} & & \left( \begin{array}{l} K = K_c \\ \sinh 2K = 1 \end{array} \right) \\
 & & C_1 + C_2
 \end{array}$$

$$\sum_{b=D,1} e^{K(-1)^b} (-1)^{b(C_1 + C_2)} = \sqrt{2} e^{K(-1)^{C_1 + C_2}}$$

← Euler と  $\neq$  は  $\neq$  です

## ・ 境界

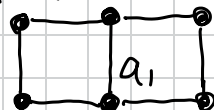


$$\sum_{b=0,1} e^{k(-1)^{b+a_1}} (-1)^{b(c_1+c_2)} = \sum_{b'} e^{k(-1)^{b'(c_1+c_2)}} \times (-1)^{a_1 c_1} (-1)^{a_1 c_2}$$

$(b' = b + a_1)$  とおる?

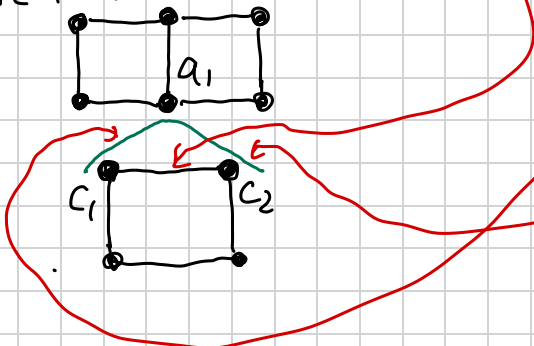
$$= \sqrt{2} e^{k(-1)^{c_1+c_2}} (-1)^{a_1 c_1} (-1)^{a_1 c_2}$$

active lattice



$$= \sqrt{2} e^{k(-1)^{c_1+c_2}}$$

Euler で  $\zeta \neq 0$  の時



$$\begin{array}{ccc} a & & \\ \swarrow & \curvearrowright & \searrow \\ c & & \end{array} \rightarrow (-1)^{ac}$$

## ■ 残りの定数

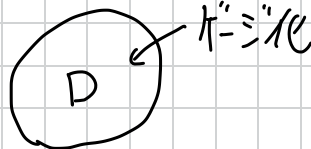
$$D \text{ 内} \quad \bullet = \frac{\sqrt{2}}{2} = \frac{1}{\sqrt{2}}$$

D 内のバイルケは半分

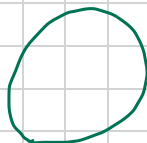
$$\square = \frac{\sqrt{2}}{2} \times 2 = \sqrt{2}$$

境界の外に残る  
(t形とした構成) [Aasen, Mong, Fendley 16]

## ■ ここまで"のまとめ



↓



KW欠陥

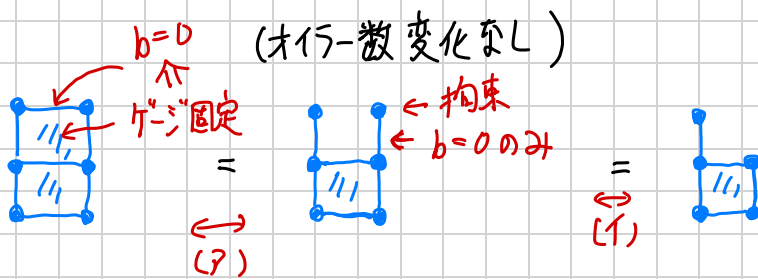
genuine codim 1 の欠陥

- Dのバルクは外と変わらない
- 局所的

$$\bullet_c^a - (-1)^{ac}$$

## ■ トポロジカルであること。

Dの例)



(ア), (イ) の操作で分配関数は変化なし

= トポロジカル

(ア), (イ) をくり返して縮めていく

$$= \bullet = \text{Euler } \sqrt{2} = \sqrt{2}$$

拘束  $\delta_0 = 1$

従来の

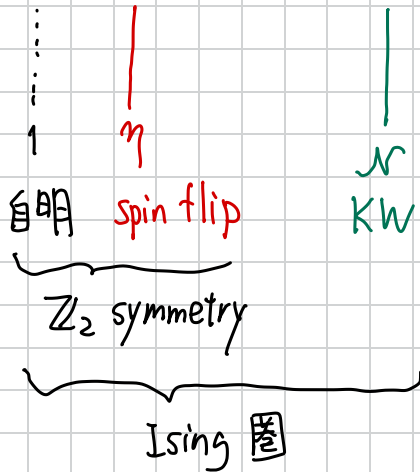
$$\Rightarrow \text{緑の図} = \sqrt{2} \Rightarrow \text{対称性ではない!}$$

## ここまで の 結論

- $K = K_c$  の Ising には「 $KW$  欠陥,  
 $\text{codim} 1$  トポロジカル欠陥」がある.
  - これは従来の対称性の対称性欠陥  
ではない.
- 少  
一般化対称性、非可逆対称性の例

# ☆ 対称性の構造

2D Ising のトポロジカル欠陥



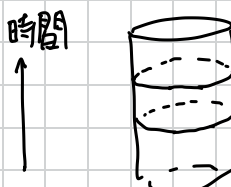
融合圏 (fusion category)  
(おしくは [Bhardwaj, Tachikawa 17])

## Fusion rule

$$\begin{array}{ccc}
 | & | & = \\
 a & b & \\
 \text{2つのトポロジカル欠陥} \\
 \text{を} & \text{と} & \text{おく}
 \end{array}
 \quad
 \begin{array}{c}
 | \\
 a \otimes b \leftarrow \text{こうじる記号で書く。} \\
 \text{新たなトポロジカル欠陥}
 \end{array}
 \quad
 \begin{array}{c}
 = \sum_c N_{ab}^c | \\
 c
 \end{array}
 \quad
 \begin{array}{c}
 "simple" \text{ な } t \text{ の } \\
 \text{仮定}
 \end{array}$$

Hilb. sp に作用する演算子(②の立場)の見方で  
演算子の積

従来の対称性の場合  
群演算



$$0 \quad \begin{array}{c|c} | & | \\ N & \eta \end{array} = \begin{array}{c} | \\ N \end{array} \quad (\Rightarrow N_{\eta} \text{ 非可逆})$$

$$\begin{array}{c} \text{Diagram showing a 3x3 grid of blue dots with a red vertical line through the middle column.} \\ \eta : \text{Wilson line} \\ \rightarrow D \end{array} = \begin{array}{c} \text{Diagram showing a 3x3 grid of blue dots with a red vertical line through the middle column and a red dot at the top center.} \\ \text{Wilson line} \\ \uparrow \eta \rightarrow \text{場変化} \end{array} = \begin{array}{c} \text{Diagram showing a 3x3 grid of blue dots with a red vertical line through the middle column and a red dot at the top center.} \end{array}$$

$$0 \quad \begin{array}{c} \text{Diagram showing a 3x3 grid of blue dots with a red vertical line through the middle column.} \\ \eta : \text{spin flip} \\ \leftarrow \text{背景} \rightarrow \text{場} \\ \text{dynamical } T = \text{場} \\ b \end{array} = \begin{array}{c} \text{Diagram showing a 3x3 grid of blue dots with a red vertical line through the middle column and a red dot at the top center.} \\ \text{背景} \rightarrow \text{場} \\ \text{dynamical } \eta \rightarrow \text{場} \\ \text{はさまれた} \\ b' = b + B \end{array} = \begin{array}{c} \text{Diagram showing a 3x3 grid of blue dots with a red vertical line through the middle column and a red dot at the top center.} \end{array}$$

$$0 \quad \begin{array}{c} \text{Diagram showing two vertical green lines labeled } N \text{ and } N. \\ \eta \end{array} = \begin{array}{c} \vdots \\ 1 \end{array} + \begin{array}{c} | \\ \eta \end{array}$$
  

$$= \begin{array}{c} \boxed{D} \\ \downarrow \eta \text{-化} \end{array} = \begin{array}{c} \vdots \\ 1 \end{array} = \begin{array}{c} \vdots \\ 1 \end{array} + \begin{array}{c} | \\ \eta \end{array}$$

$\Leftrightarrow b \text{ が } \eta \text{ の } O$   
or       $\therefore$

## Quantum dimension

$$\text{a} \quad =: q^{\dim}$$

$$\text{Red circle} = 1 \quad , \quad \text{Green circle} = \sqrt{2}$$

 F-symbol

$$= \sum_f (F_{abc}^e)_{af} \begin{array}{c} e \\ \diagdown \\ f \\ \diagup \\ a \end{array} \begin{array}{c} f \\ \diagup \\ b \\ \diagdown \\ c \end{array}$$

151

$$0 = \frac{1}{\sqrt{2}} \left( \begin{array}{c} \text{Diagram 1} \\ \text{Diagram 2} \end{array} \right) + \left( \begin{array}{c} \text{Diagram 3} \\ \text{Diagram 4} \end{array} \right)$$

$$\begin{array}{c} \text{Diagram 1} \\ \text{Diagram 2} \\ \text{Diagram 3} \end{array}
 = \begin{array}{c} \text{Diagram 4} \\ \text{Diagram 5} \\ \text{Diagram 6} \end{array}
 = \frac{1}{\sqrt{2}} \left( \begin{array}{c} \text{Diagram 7} \\ \text{Diagram 8} \\ \text{Diagram 9} \end{array} \right) + \begin{array}{c} \text{Diagram 10} \\ \text{Diagram 11} \\ \text{Diagram 12} \end{array} \right)$$

↗ link の 部 分  
 explicit に 言 う

$$\circ \quad \begin{array}{c} 1 \\ -1 \end{array} = (-1)$$

# 化の WT id

$$0 \quad \begin{array}{c} x \\ \sigma \end{array} = 0$$

$$\left( \begin{array}{c} \text{○} \\ \text{II} \\ \begin{array}{c} x \\ \sigma \end{array} \end{array} \right) = - \begin{array}{c} x \\ \sigma \end{array} \right)$$

$$0 \quad \begin{array}{c} x \\ \sigma \end{array} \Big| = \begin{array}{c} x \\ \mu \end{array}$$

$$= \begin{array}{|c|c|} \hline & x \\ \hline x & \\ \hline \end{array} = \begin{array}{|c|c|} \hline & x \\ \hline & b=1 \text{ の } 2 \\ \hline \end{array} = \begin{array}{|c|c|} \hline & x \\ \hline & \\ \hline \end{array}$$

強制的  $\because \sum b = 1$

# ★ 応用

[Chang, Lin, Shao, Wang, Yin 19]

命題： Ising 圈の対称性を持つ 2D QFT は  
trivially gapped にならない

gapped かつ、空間のトポロジーがどうなつても  
 真空に縮退なし。  
 空間の体積が大きい

$$E_1 - E_0 \geq m \quad \exists m > 0 \text{ 体積によらない}$$

第 1 励起状態  
 のエネルギー  $E_1$   
 基底状態のエネルギー  
 $E_0 = 0$

証明

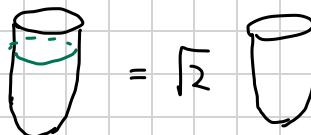
gapped, 唯一の真空  $|0\rangle$  を仮定

以外、計量の曲率  $\ll m^2$ , 体積  $\gg \frac{1}{m} \Rightarrow |0\rangle$  以外の  
 拡散は無視

$\hat{N}$  : Hilbert 空間に作用する演算子



$$\hat{N}|0\rangle = \sqrt{2}|0\rangle$$





$$\textcircled{1} \quad Z = \langle 0 | \hat{N} | 0 \rangle = \sqrt{2}$$

矛盾

$$\textcircled{2} \quad Z = \dim \mathcal{H}_{\text{defect}} \in \mathbb{Z}_{\geq 0}$$

$\uparrow$

$\uparrow N_{\text{defect}}$

※ Ising 圈  $\rightarrow \mathbb{Z}_2$  対称性  $\leftarrow$  普通の対称性  $\leftarrow$  これのおかげ?

別の対称性

Fibonacci 圈 : トポロジカル欠陥 1, F

$$\text{Fusion rule} \quad F^2 = F + 1$$

普通の対称性を含まない。

$\Rightarrow$  同様の命題が成り立つ ( trivially gapped になれない)

$$\hat{F} \text{ の固有値} \quad \frac{1 \pm \sqrt{5}}{2}$$

# 4. 高次形式対称性

★ 定義：P形式対称性

群  $G \ni g$ , codim  $p+1$  向きついた面  $M$

$\Rightarrow U_g(M)$  : トポロジカル欠陥

次を満たすもの

$$\circ \quad \begin{array}{ccc} \uparrow & \uparrow & = \\ U_g & U_h & U_{gh} \end{array} \quad \left( \begin{array}{l} \Rightarrow p > 0 \text{ とする} \\ G \text{ は } P\text{-ペル群} \quad gh = hg \end{array} \right)$$

---

$$\circ \quad U_1 = 1, \quad U_g(-M) = U_{g^{-1}}(M)$$

□ 演算子への作用

$W_a(C)$  :  $p$  次元 (トポロジカルとは限らない) 欠陥

$C$  :  $p$  次元面

$$W_a(C) = \sum_b R_a^b(g) W_b(C)$$

$R_a^b(g)$  :  $G$  の表現

$\Rightarrow G$  は  $P$ -ペル群  
 $\Rightarrow R_a^b(g) = (\text{phase}) \delta_a^b$   
となる基底がある

※ 例)  $\text{U}(-\infty)$  理論の中心対称性  
( 後で詳しく述べ )

※ 昔から知られていたが、局所的な記述が  
発見されたのが最近

[Gaiotto, Kapustin, Seiberg, Willet 14]

# ☆ 格子ゲージ理論の中心対称性

## 四 格子ゲージ理論

d 次元立方格子 . ゲージ群  $SU(N)$  (例)  
Lie代数でなくて群

各リンク  $\langle ij \rangle$  に  $U_{ij} \in SU(N)$

### 分配関数

$$Z = \int \prod_{\langle ij \rangle} dU_{ij} \exp(-S(U))$$

↑ Haar測度

$$S(U) = -K \sum_{\substack{\langle i j k l \rangle \\ \text{plaquettes}}} \left[ \text{tr} (U_{ij} U_{jk} U_{kl} U_{li}) + (\text{c.c.}) \right]$$

(  $\because K \sim \frac{1}{g_m^2}$  )

### ゲージ変換 パラメータ : 各サブ $i$ に $g_i \in SU(N)$

$$U'_{ij} = g_i U_{ij} g_j^{-1} \Rightarrow S(U') = S(U)$$

## □ 中心対称性

さきの格子ゲージ理論に  $\mathbb{Z}_N$  形式対称性 群  $\mathbb{Z}_N^{[1]}$

- (群の話)

$$SU(N) \ni \omega I_N$$

$$\omega := e^{\frac{2\pi i}{N}}$$

$$\mathcal{Z} := \left\{ \omega^k I_N : k=0, 1, \dots, N-1 \right\} \subset SU(N)$$

部分群

$\mathcal{Z}$  の元は  ${}^A g \in SU(N)$  と可換

こういう  $\mathcal{Z}$  を 「 $SU(N)$  の中心 (center)」

$$\mathcal{Z} \simeq \mathbb{Z}_N$$

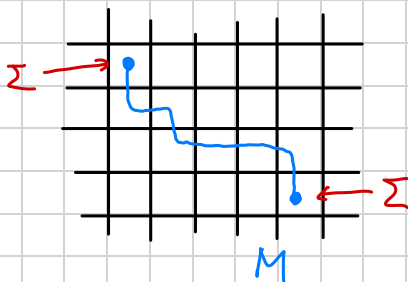
- 前にやった時空の一部で変換  $\Rightarrow$  テトロジカル欠陥

$$M: \text{codim 1 surface}, \quad \partial M = \Sigma$$

サブと交うない。

向き付き

(双対格子の codim 1 要素を  
つないでできる面)



◦ 積分の変数変換

$$U'_{ij} = \begin{cases} U_{ij} & \langle ij \rangle \text{ は } M \text{ と交わらない} \\ U_{ij} \omega & i \xrightarrow{M} j \\ U_{ij} \omega^{-1} & j \xleftarrow{M} i \end{cases}$$

◦  $S(U')$  vs  $S(U)$

$$\boxed{\square} = \boxed{\square} \quad \text{交わってなければ自明に交わらない}$$

$$\boxed{\substack{\omega \\ \square}} = \boxed{\square} \quad \text{交わる} \quad \text{変わる} \quad \downarrow \quad \Sigma \text{ の上の plaquette}$$

$$\boxed{\substack{\omega \\ \square}} = \omega \boxed{\square} \quad \text{交わる} \quad \text{変わる} !!$$

$$S = \dots - K (\omega \operatorname{tr}(U^+ \dots) + (\text{c.c}))$$

$$S_{M,\omega}(U) := S(U')$$

$S_{M,\omega}(U)$  と  $S(U)$  は  $\Sigma$  上の "H" で異なる。

$\Rightarrow \operatorname{codim} 2$  トポロジカル欠陥

$$V_{\omega^{-1}}(\Sigma)$$

$V_{\omega^k}(\Sigma)$  も同様に定義

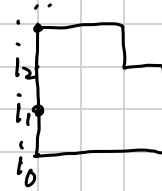
$$\Rightarrow \mathbb{Z}_N^{[1]} \text{ 対称性}$$

「中心対称」

# □ Wilson loopへの作用

- Wilson loop

$C$ : 'i'をつないでいるループ



$$W_D(C) = \text{tr} (U_{i_0 i_1} U_{i_1 i_2} \cdots U_{i_{k-1} i_k})$$

↑ 基本表現

ゲージ不变、次元1欠陥（一般にはトポロジカルではない）

$$W_P(C) = \text{tr} (\rho(U_{i_0 i_1} U_{i_1 i_2} \cdots))$$

↑  $SU(N)$ の表現

•  $W_D(C)$  で"さきの変換"

$$= \text{tr} (V_W^{-1}(z)) \times \omega$$

$\Rightarrow WT \text{id}$

$$W_D \xrightarrow{V_{W^k}} = \omega^k \xrightarrow{W_D}$$

$\rho$  : 既約表現 ,  $\underbrace{\square \otimes \square \otimes \cdots \otimes \square}_{l \text{ 個}} = \rho \oplus \cdots$

$l \bmod N$  : "N-ality"

$$\cancel{V_w} = \frac{w^{kl}}{w_\ell}$$

# ☆ 背景ゲージ場 その1

普通の対称性のとき.

flatな背景ゲージ場の配位 = 対称性欠陥の配位

P形式 対称性の場合も同様

ゲージ場?

■ 格子,  $\mathbb{Z}_N^{(1)}$  の場合  $\Rightarrow \mathbb{Z}_N$  2-form ゲージ場

• ゲージ場  $B$  ( $0$ -form 対称性  $\Rightarrow$  1-form ゲージ場)

各 フラグット  $\langle ijkl \rangle$  に  $B_{ijkl} \in \mathbb{Z}_N = \{0, 1, \dots, N-1\}$

$$\begin{array}{c} l \\ \left[ \begin{array}{c} \swarrow \\ i \end{array} \right] \begin{array}{c} \nearrow \\ j \end{array} \end{array} \quad \text{逆向き. } B_{lkji} = -B_{ijkl}$$

• ゲージ変換

パラメータ: 各リンク  $\langle ij \rangle$  に  $\Lambda_{ij} \in \mathbb{Z}_N \quad \Lambda_{ij} = -\Lambda_{ji}$

$$B'_{ijkl} = B_{ijkl} + \Lambda_{ij} + \Lambda_{jk} + \Lambda_{kl} + \Lambda_{li}$$

$$=: \delta \Lambda_{ijkl}$$

• 場の強さ

cube (向き付き)  $c$



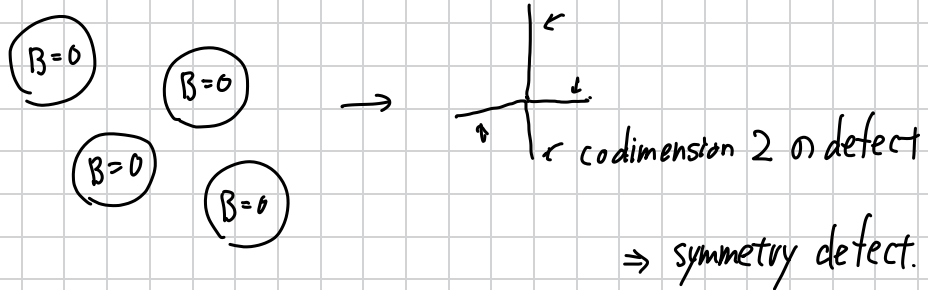
$$\delta B_c = \sum_p B_p$$

cubeの中のplaquette, cubeの向き, 韻がうる向.

$\delta B$  は  $\text{h}^{\text{-}}\text{-}\mathcal{S}$  不变

"flat"  $\Leftrightarrow \delta B = 0$

- flat  $\Rightarrow \text{h}^{\text{-}}\text{-}\mathcal{S}$  "变换?" 局所的  $k|k B=0$   $k^2 \neq 0$



④ 格子ゲージ理論との coupling

$$S(U, B) = -K \sum_{\langle i j k l \rangle} \left[ e^{\frac{2\pi i}{N} B_{ijkl}} + \text{tr}(U_{ij} \dots) + (\text{c.c.}) \right]$$

- $U_{ij}$  のゲージ変換  
 $U'_{ij} = e^{-\frac{2\pi i}{N} A_{ij}} U_{ij} \Rightarrow S(U, B)$  は不变
- $V$  の配位  $\Leftrightarrow$  flat な  $B$

$V_{wk}(M)$ ,  $M$  が持つ plaq.  $p$  (IEの向き)

$$\begin{array}{c} \nearrow \\ \swarrow \\ p \end{array} \Rightarrow B_p = k$$

flat  $\Leftarrow$  端が“ない”  
cube の中に入ったときに“出でない”

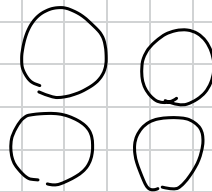
- $\mathbb{Z}_N^{[1]}$  をゲージ化  $\rightarrow$  別の理論

$$Z_{\text{gauged}} = \text{①} \sum_b \int \mathcal{D}U e^{-S(U, b)}$$

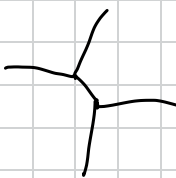
# ☆背景ゲージ場 その2：単体コホモロジー

ア行ア

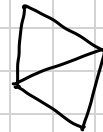
flatなゲージ場：局所的に0に近づく



$\Rightarrow$



dual  
 $\Leftrightarrow$



トポロジカル欠陥の配位

$\Rightarrow$  荒い格子で十分

三角形の格子でもよい。  
(単体)

$\Rightarrow$  数学の道具：単体コホモロジー

□ Chain

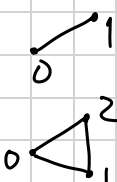
- $X$ ：閉じた  $d$  次元多様体

単体分割  $\Rightarrow K$

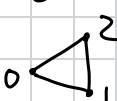
頂点に通し番号  $0, 1, 2, 3, \dots$

- 単体：頂点，リンク，三角形，4面体，…

p 単体



$\langle 01 \rangle$



$\langle 012 \rangle \dots$

一般  $K \langle i_0 i_1 \dots i_p \rangle$   
 $i_0 < i_1 < \dots < i_p$

(以下めんどうなのが)  $\langle o_1 \dots p \rangle$  の場合だけ書く(もある)

- $G : \text{アーベル群 } (\mathbb{Z}, \mathbb{R}/\mathbb{Z}, \mathbb{Z}_n, \dots)$

$C_p(K, G) : p$  単体の形式的な  $G$  係数線型結合  
 $\Rightarrow \text{アーベル群}$

- $\partial : \text{boundary}$

$$\partial : C_p(K, G) \rightarrow C_{p-1}(K, G) \quad \text{hom}$$

$$\partial \langle o_1 \dots p \rangle = \langle 12 \dots p \rangle - \langle o_2 \dots p \rangle + \dots$$

$$= \sum_{j=0}^p \underbrace{\langle o_1 \dots}_{\substack{\wedge \\ j \text{番目}}} p \rangle (-1)^j$$

$$\Rightarrow \boxed{\partial^2 = 0}$$

- $Z_p(K, G) := \{c \in C_p(K, G) \mid \partial c = 0\}$  "cycle"

$$B_p(K, G) := \partial C_{p+1}(K, G)$$

両方アーベル群

$$Z_p \supset B_p \quad (\because \partial^2 = 0)$$

$$H_p(K, G) := Z_p(K, G) / B_p(K, G)$$

$$\boxed{\text{ホモロジー}}$$

定理 :  $H_p(K, G)$  は  $K$  の  $p$  方に沿う  $G$  の

$H_p(X, G)$  と書く。

## □ Cochain

$p$  単体  $\square$  に  $G$  の元を割り込むやり方

$\langle i_0 i_1 \dots i_p \rangle \vdash A_{i_0 \dots i_p} \in G$  を割り込む

例 :  $p = 1$  : リンク  $\langle ij \rangle \vdash A_{ij} \in G$  を割り込む。

$p$ -cochain 全体  $C^p(K, G)$  アベール群

(深いことを考えると  $p$ -form の場全体)

○ Coboundary  $\delta : C^p \rightarrow C^{p+1}$

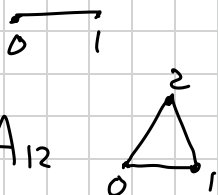
$A \in C^p$

$$(\delta A)_{0 \dots (p+1)} := A_{1 \dots (p+1)} - A_{02 \dots (p+1)} + \dots$$

$$= \sum_{j=0}^p (-1)^j A_{0 \dots \overset{j}{\wedge} \dots (p+1)}$$

例  $\lambda \in C^0 \Rightarrow (\delta \lambda)_{01} = \lambda_1 - \lambda_0$

$$A \in C^1 \Rightarrow (\delta A)_{012} = A_{12} - A_{02} + A_{12}$$



$$\Rightarrow \boxed{\delta^2 = 0}$$

$$\bullet \quad Z^p(K, G) = \{A \in C^p(K, G) \mid \delta A = 0\}$$

"p-cocycle"

$$B^p(K, G) = \delta C^{p-1}(K, G)$$

$$Z^p \supset B^p \Leftrightarrow \delta^2 = 0$$

$$H^p(K, G) := Z^p(K, G) / B^p(K, G)$$

$\uparrow$                                $\uparrow$   
 "flat"                              ハーフ変換

定理 :  $H^p(K, G)$  は  $K$  によらない

$H^p(X, G)$  と書く

---

□  $G = \mathbb{Z}_N$  の場合 ( $\mathbb{Z}, \mathbb{R}, \dots$ )

+ で群

かけ算もある ( $\mathbb{Z}$  に代表元をと,  $\mod N$ )

以下、こういったものだけを考える。

□ 積分

$A \in C^p(K, G)$ ,  $\Sigma \in C_p(K, G)$

$\int_C A$  を定義

$$\int_{\alpha < o_1 \dots p} A := \alpha A_{o_1 \dots p}, \quad \alpha \in G$$

bilinear

四 力, 二積

$$C^p(K, G) \times C^q(K, G) \rightarrow C^{p+q}(K, G)$$

$$\begin{matrix} \downarrow \\ A \end{matrix} \quad \begin{matrix} \downarrow \\ B \end{matrix}$$

$$(A \cup B)_{o_1 \dots (p+q)} = A_{o_1 \dots p} B_{p+1 \dots (p+q)}$$

性質

$$\circ \delta(A \cup B) = \delta A \cup B + (-1)^p A \cup \delta B$$

$\Downarrow$

$$H^p(X, G) \times H^q(X, G) \rightarrow H^{p+q}(X, G)$$

$$A \cup B = (-1)^{p+q} B \cup A$$

# ☆ 自発的対称性の破れ

ふつうの対称性

秩序変数  $\langle \sigma(0) \rangle \neq 0$

↓ ちゃんといふ

$$\lim_{\substack{|C| \rightarrow \infty \\ (\text{Volume} \rightarrow \infty)}} \langle \sigma(0) \sigma(x) \rangle \neq 0$$

$\bullet$   
 $\sigma(0)$

$\bullet$   
 $\sigma(x)$

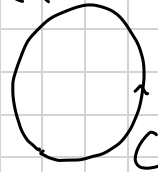
保つ  $\langle \sigma(0) \sigma(x) \rangle \sim e^{-m|x|}$

1-form 対称性の場合

秩序変数  $W(C) \leftarrow$  次元欠陥 (例: Wilsonループ)

どうゆう?

$$\lim_{C \rightarrow \infty} \langle W(C) \rangle \neq 0$$



周長則の場合.

$$\langle W(C) \rangle \sim e^{-m \int_C ds} \xrightarrow{\text{Cの長さ}} 0$$

たとえ

local counter term

$$\tilde{W}(C) = W(C) e^{-m \int_C ds} \leftarrow \text{まことに次元欠陥}$$

$$\langle W(C) \rangle \rightarrow \text{定数} \neq 0$$

つまり

対称相

$$\lim_{C \rightarrow \infty} \langle W(C) \rangle = 0 \quad (\text{と "L" は local counter term を持つ})$$

$\Leftrightarrow$  面積則

破れ相

$$\lim_{C \rightarrow \infty} \langle W(C) \rangle = (\text{定数}) \neq 0 \quad (\text{ある counter term "I" })$$

$\Leftrightarrow$  Coulomb則, 周長則, ...

中心対称性の場合

対称相  $\Leftrightarrow$  閉じ込め

破れの相  $\Leftrightarrow$  非閉じ込め

# 5. 高次元の非可逆対称性

知られてる作り方

- higher gauging
- half-space gauging ← 2次元 KW欠陥を作った  
の类似

## ★ ケーリング化

$T$ : d次元 QFT with  $P$ 形式対称性

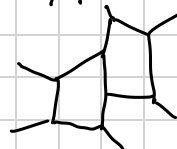
$G^{[P]}$

群  $G$  : 有限アーベル群  
( $\mathbb{Z}_N$  の場合)

$X$  : d次元 closed 多様体

$K$  :  $X$  の単体分割 (格子)

$G^{[P]}$  がアリ - 無し :  $A \in Z^{p+1}(K, G)$  ケーリング  
(アリ - 可能)

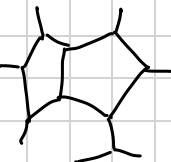


(トポロジカル欠陥の  
配位)

$\Leftrightarrow Z_T(A)$  が •  $K$  によらず

• ケーリング不变 ( $Z_T(A + \delta\lambda) = Z_T(A)$ )

$$Z_{T/G^{(p)}} = \frac{1}{\text{Vol}} \sum_{a \in Z^{p+1}(K, G)} Z_T(a)$$

$$\Rightarrow \frac{1}{\text{Vol}} \sum_a$$


という網状の  
演算子の挿入

$$\lambda \sim \lambda + \delta \mu, \mu \in C^p$$

$$\frac{1}{\text{Vol}} = \frac{|C^p| |C^{p-1}| \dots}{|C^1| |C^{p-2}| \dots} \frac{1}{|C^0|}$$

p: even

$\xrightarrow{\text{Hodge変換}}$

$$a \sim a + \delta \lambda, \lambda \in C^p \quad \frac{1}{|C^0|}$$

p: odd

$\Downarrow H^*$  の言葉で書く。

$$\sum_{a \in Z^{p+1}} Z_T(a) = |B^{p+1}| \sum_{a \in H^{p+1}} Z_T(a) \quad \left( H^{p+1} = Z^{p+1} / B^{p+1} \right)$$

$$0 \rightarrow Z^p \xrightarrow{i} C^p \xrightarrow{\delta_p} B^{p+1} \xrightarrow{\delta_{p+1}} 0$$

$$B^{p+1} = C^p / Z^p$$

$$|B^{p+1}| = \frac{|C^p|}{|Z^p|} = \frac{|C^p|}{|H^p| |B^p|} = \frac{|C^p| |B^{p+1}|}{|H^p| |C^{p-1}|} = \dots$$

$$= \frac{|C^p| \dots}{|C^{p+1}| \dots} \frac{|H^{p+1}| \dots}{|H^p| \dots}$$

$$Z_{T/G^{[p]}} = \frac{|H^p| \dots}{|H^P| \dots} \sum_{a \in H^{p+1}} Z_T(a)$$

※ 他に Gravitational な counter term を入れる可能性あり)

## 四 双対対称性

(簡単のため  $G = \mathbb{Z}_N$ )

•  $T/G^{[p]}$  では  $g = d-p-2$  form 対称性がある

Wilson surface が対称性欠陥  $e^{\frac{2\pi i}{N} \int_{\tilde{B}} a}$

$$\tilde{B} \in H_{p+1}(X, G) \simeq H^{g+1}(X, G)$$

$$B \in H^{g+1}(X, G)$$

$$Z_{T/G^{[p]}}(B) = \frac{|H^p| \dots}{|H^P| \dots} \sum_{a \in H^{p+1}} e^{\frac{2\pi i}{N} \int_X B \cup a} Z_T(a)$$

•  $B$  を  $\mathbb{Z}_2$ -化

$$Z_{T/G^{[p]}/G^{[g]}} = \frac{|H^{g+1}| \dots}{|H^g| \dots} \sum_{b \in H^{g+1}} Z_{T/G^{[p]}}(b)$$

$$Z_{T/G^{[p]}/G^{[q]}} = \frac{|H^{q+1}| \dots}{|H^q| \dots} \frac{|H^p| \dots}{|H^1| \dots}$$

$$\times \sum_{b \in H^{q+1}} \sum_{a \in H^{p+1}} e^{\frac{2\pi i}{N} \int_X b \wedge a} Z_T(a)$$

$$= \frac{|H^{q+1}| \dots}{|H^q| \dots} \frac{|H^p| \dots}{|H^1| \dots} |H^{q+1}| Z_T$$

たのみたい  $T/G^{[p]}/G^{[q]} = T$

1. ここで定数

$$\text{fact } H^r \simeq H^{d-r} \Rightarrow |H| = |H^{d-r}|$$

$q$ : even

$$= \prod_{r=0}^d |H^r|^{(-1)^{r+1}} = \prod_{r=0}^d |C^r|^{(-1)^{r+1}}$$

$$|C^r| = N^{(r \text{ 単体の数})}$$

$$= N^{-\chi}$$

$$\chi := \sum_{r=0}^d (-1)^r (r \text{ 単体の数})$$

Euler 数

$q$ : odd

$$= N^\chi$$

$$d: \text{odd} \Rightarrow \chi = 0$$

(fact が 3)

$d$ : even  $\Rightarrow$  Euler counter term  $\zeta^4$

$$Z_{T/G^{[p]}/G^{[q]}} = Z_T \text{ エーテン}$$

$$151 \quad d = 2n, \quad p = q = n - 1$$

$r+1$

$$n: \text{even} \Rightarrow r \text{ 単体 } k (\sqrt{N})^{(-1)^r}$$

(p, q: odd) Eg. d=4

$$n: \text{odd}$$

$r$

$$(p, q: \text{even}) \text{ Eg. } d=2 \Rightarrow r \text{ 单体 } k (\sqrt{N})^{(-1)^r}$$

2. 背景ゲージ場入れる

$$Z_{T/G^{[p]}/G^{[q]}} [A]$$

$$= \textcircled{1} \sum_{\substack{a \in H^{p+1} \\ b \in H^{q+1}}} e^{\frac{2\pi i}{N} \int_A u_b} e^{\frac{2\pi i}{N} \int_b u_a} Z_T [a]$$

$\int_b u(a-A)$  ① p, q : even  
 $\int_b u(a+A)$  ② それ以外

$$= \begin{cases} Z_T [A] & \textcircled{1} \quad \text{Eg. } 2d \quad p = q = 0 \\ Z_T [-A] & \textcircled{2} \quad \text{Eg. } 4d \quad p = q = 1 \end{cases}$$

荷電共役 ( $\because Z_2$  の場合  
 $-A = A$  で違わない)

2次元 QFT with  $\mathbb{Z}_N$  0-form (3.2の) 対称性

T

“ T/ $\mathbb{Z}_N$   $\simeq$  T の t の並びある”

例) :  $\circ$  Ising,  $K = K_C$  KW duality  
 $\circ$  Free scalar, radius  $\sqrt{N}$  T duality  
⋮

↓ P+D=“-

4次元 QFT with  $\mathbb{Z}_N^{(1)}$

T

“ T/ $\mathbb{Z}_N^{(1)}$   $\simeq$  T の t の並びある”

例) :

- $\mathbb{Z}_2$  格子 “-” 理論  $K = K_C$  KW 双対性  
(Ising 類似?) 同じタイプの
- Maxwell 理論  $\frac{1}{g^2} = \frac{N}{4\pi}$  EM 双対性  
 $\theta = 0$  非可逆対称性

- $N=4$  SU(N) SYM  $\frac{1}{g^2} = \frac{1}{4\pi}$  MO 双対性  
 $\theta = 0$

⋮

# ☆ 4次元 $\mathbb{Z}_2$ 格子ゲージ理論

† 4次元立方格子上 トポロジカルでないもの

各リンク  $\Gamma$  に  $a_\Gamma = 0, 1$

$$Z_T(K) = \sum_{\{\alpha\}} \exp \left( K \sum_{\substack{\text{plaq.} \\ \langle 1234 \rangle}} (-1)^{a_1 + a_2 + a_3 + a_4} \right)$$

$\mathbb{Z}_2^{[1]}$  中心対称性

---

KW 双対性に似た双対性 [Wegner]

$$\frac{1}{(\sinh 2K)} \cdot Z_{T/\mathbb{Z}_2^{[1]}}(K) = \frac{1}{(\sinh 2\tilde{K})} \cdot Z_T(\tilde{K})$$

$$\sinh 2K \sinh 2\tilde{K} = 1$$

---

## ■ 相構造

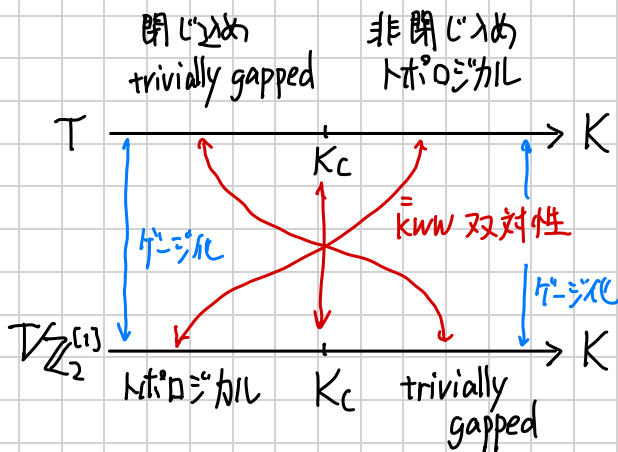
$K \ll 1$  (強結合)

強結合展開  $\Rightarrow$  閉じ込め ( $\mathbb{Z}_2^{(1)}$  は残る)

(trivially gapped)

$K \gg 1$  (弱結合)

flat な配位が dominate  $\Rightarrow$  非閉じ込め ( $\mathbb{Z}_2^{(1)}$  は SSB)  
(gapped, ハミングルな自由度)

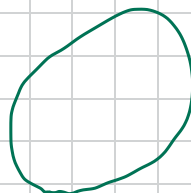
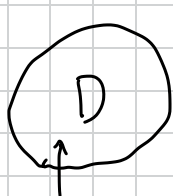


# ■ KWW 双対性の欠陥

[Koide, Nagoya, SY]  
(ちよてりの説明)

$$K = K_c \text{ で } T / \mathbb{Z}_2^{[1]} = T$$

half space gauging



$\mathbb{Z}_2^{[1]}$  をトポロジカル化

codim 1 欠陥

トポロジカルであること  $\leftarrow$  2次元の KW 欠陥と同様

"quantum dimension"



!!



=  $\bullet$   
変形 4個

$$= \frac{1}{\sqrt{2}} \quad (\text{Euler})$$

従来の対称性

ではない

「非可逆対称性」

# ☆ 4次元 Maxwell 理論 の EM-duality (S)

。電磁双対の導出

。そこから導かれた(非可逆)対称性

## ■ Maxwell 理論

$$I_{\tau} = \int_X \mathcal{L} \quad \tau := \frac{\theta}{2\pi} + i \frac{4\pi}{g^2}$$

$$\mathcal{L} = \frac{1}{g^2} F \wedge *F - \frac{i\theta}{8\pi^2} F \wedge F$$

$A$ :  $U(1)$  ゲージ場 .  $F := dA$  : 場の強さ

## 準備

$$F = F^+ + F^- \quad F^\pm := \frac{1}{2}(F \pm *F)$$

(anti-) self-dual part

↓

$$\mathcal{L} = -\frac{2\pi i}{8\pi^2} (\tau F^+ \wedge F^+ + \bar{\tau} F^- \wedge F^-)$$

## S-duality

$I_T$  と  $I_{-\frac{1}{T}}$  は等価 (以下 Witten, hep-th/9505186 を参考)

(1)  $B : U(1)$  2-form gauge field

ケージ変換  $\rightarrow A \mapsto A + d\Lambda$   $\Lambda : U(1)$  1-form gauge field

$$A \rightarrow A + \Lambda$$

$$B \rightarrow B + d\Lambda$$

$\Rightarrow F := F - B$  ケージ不变

$$\mathcal{L}_T(F) = -\frac{2\pi i}{8\pi^2} \left( T F^+ \wedge F^+ + \bar{T} F^- \wedge F^- \right)$$

ケージ不变

ただし一般には Maxwell 理論と異なった

(2) Maxwell 理論と等価な理論を作った。

$$Z_{M_T} = \int \mathcal{D}A e^{-\int \mathcal{L}_T(F)}$$

$$\int \mathcal{D}B \delta(B) = 1$$

$$= \int \mathcal{D}A \left( \int \mathcal{D}B \delta(B) e^{-\int \mathcal{L}_T(F)} \right) \delta(B) = 0 \text{ if } B \text{ is "pure gauge"} \\ \text{ケージ不变}$$

$$Z_{M_\mathcal{I}} = \int DADB \delta(B) e^{-\int L_I(F)}$$

(  $\hat{A} : U(1)$  ハーミテジ場 )

公式

$$\delta(B) = \int D\hat{A} e^{-\frac{i}{2\pi} \int \hat{A}_\lambda dB}, \quad \hat{A} : U(1) \text{ ハーミテジ場}$$

"証明" のスケッチ  $(H^2(X, \mathbb{Z}) \cong \mathbb{Z}^m \text{ (torsionなし)} \text{ とき})$

$$F(B) := \int D\hat{A} e^{-\frac{i}{2\pi} \int \hat{A}_\lambda dB}$$

(i)  $F(B) = 0, B \neq \text{pure gauge}$

(ii)  $\int DB F(B) = 1 \Leftrightarrow \int DB D\hat{A} e^{-\frac{i}{2\pi} \int \hat{A}_\lambda dB}$  が自明な理論

(i)  $A = \sum_j n_j a_j + b$   $\omega$ ; が生成子  
 $\uparrow$  形式  $\Rightarrow H^2(X, \mathbb{Z}) \cong \sum_j \omega_j; n_j \in \mathbb{Z}$   
 $(2\pi \omega_j = da_j)$  トポロジカルな意味

$$\int D\hat{A} = \prod_j \sum_m \int da$$

$\xrightarrow{\text{d}B=0}$  Wilson surface  $\sum_{PD(\omega_j)} B \in 2\pi \mathbb{Z}$

(ii)  $X = M \times S^1$  の時  $\left. \right) t_p, t_i$  貫通。  $t_i$   
 $\uparrow$  時間と見立てる準量化  $\Rightarrow$  Hilbert 空間は 1 次元, Hamiltonian = 0

$$Z_M = \int DB DAD\tilde{A} \exp \left[ - \int \left( \frac{i}{2\pi} \tilde{A} \wedge d\tilde{B} + \mathcal{L}_T(F) \right) \right]$$

(3)  $\Lambda$  ト-レ変換  $\Rightarrow A=0$   
 $B$  を積分

$$\frac{i}{2\pi} \tilde{A} \wedge dB = -\frac{i}{2\pi} \tilde{F} \wedge B = -\frac{i}{2\pi} \tilde{F}^+ \wedge B^+ - \frac{i}{2\pi} \tilde{F}^- \wedge B^-$$

$$\frac{(2\pi)^2}{2\pi i} \left[ -\tilde{F}^+ \wedge B^+ - \tilde{F}^- \wedge B^- - \frac{1}{2}\tau B^+ \wedge B^+ - \frac{1}{2}\bar{\tau} B^- \wedge B^- \right]$$

$$\left[ -\frac{1}{2}\tau (B^+ + \frac{1}{\tau} \tilde{F}^+) \wedge (B^+ + \frac{1}{\tau} \tilde{F}^+) + \frac{1}{2\bar{\tau}} \tilde{F}^+ \wedge \tilde{F}^+ \right]$$

$$B^{+'} := B^+ + \frac{1}{\tau} \tilde{F}^+ \Rightarrow B^{+'} \notin \text{Gauss 積分}$$

$(\Rightarrow |\tau| = 531t^6 \text{ [Witten 95]})$   
Euler, signature counter term  
 $t$  消せ3

$B^-$ ,  $\tilde{F}^-$  の方も同様

$$\left[ -\frac{1}{2\tau} \tilde{F}^+ \wedge \tilde{F}^+ - \frac{1}{2\bar{\tau}} \tilde{F}^- \wedge \tilde{F}^- \right] = \mathcal{L}_{-\frac{1}{\tau}}$$

$$M_T \simeq M_{-\frac{1}{\tau}}$$

$\square \quad \mathbb{Z}_N^{[1]} \text{ が } "=\text{化}$

$$\int DB D\tilde{A} \exp\left(-\frac{iN}{2\pi} \int \tilde{A} \wedge dB\right) \subset \mathbb{Z}_N^{[1]} \text{ が } "=\text{化} \text{ 理論}$$

$B \sim \mathbb{Z}_N$  2-form が "場"

$\Downarrow$

$$M_{\tau} : \mathbb{Z}_N^{[1]} \subset U(1)^{[1]} \text{ 対称性}$$

$$Z_{M_{\tau}/\mathbb{Z}_N^{[1]}} = \int DB D\tilde{A} DA \exp\left[-\int \mathcal{L}\right]$$

$$\mathcal{L} = \frac{iN}{2\pi} \tilde{A} \wedge d\beta + \mathcal{L}_{\tau}(F)$$

$\Downarrow \pm, \mp \text{ と 同じ}$

$$Z_{M_{\tau}/\mathbb{Z}_N^{[1]}} = Z_{M - \frac{N^2}{\tau}} \Rightarrow M_{\tau}/\mathbb{Z}_N^{[1]} \simeq M - \frac{N^2}{\tau}$$

( $N=1$  なら  $\pm, \mp$  の )

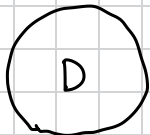
$$T := M_{\tau=iN} \Rightarrow T/\mathbb{Z}_N^{[1]} \simeq T$$

$\Rightarrow$  非可逆対称性

# ④ 対応するトポロジカル欠陥

half-space gauging       $\tau = iN$

Dの内部だけ  $\tilde{A}, \tilde{B}$  を導入



$$B|_{\partial D} = 0$$

( $\Rightarrow$  テンソル不変)

(Dirichlet boundary condition)

$$\mathcal{L}_{D\text{on}\#} = \frac{iN}{2\pi} \tilde{A} \wedge d\tilde{B} + \mathcal{L}_{iN}(F)$$

$$-F = -F + B$$

(テンソル不変)

$$= \frac{iN}{2\pi} \tilde{F} \wedge \tilde{F} + \mathcal{L}_{iN}(F)$$

$$= \underbrace{\frac{iN}{2\pi} \tilde{F} \wedge F}_{\text{Bと積分}} - \underbrace{\frac{iN}{2\pi} \tilde{F} \wedge B}_{\text{Bと積分}} + \mathcal{L}_{iN}(F)$$

$$\int_D \frac{iN}{2\pi} \frac{\tilde{F} \wedge F}{dA \wedge dA}$$

$$\mathcal{L}_{iN}(\tilde{F})$$

$$= \int_M \frac{iN}{2\pi} \tilde{A} \wedge dA \quad M = \partial D$$

$$\begin{array}{c} A \\ \downarrow \\ \tilde{A} \\ \mathcal{L}_{iN}(F) \\ \uparrow \\ \int_M \frac{iN}{2\pi} \tilde{A} \wedge dA \end{array}$$

  $N=1$  のとき

$\Rightarrow$  普通の対称性

全体  $\square$

$$\mathcal{L} = \frac{i}{2\pi} \tilde{A} \wedge dB + \mathcal{L}_i(F)$$

全体  $\square$   $\tilde{A}$  を積分  $\Rightarrow$

全体  $\square$  Maxwell

$D$  内  $A, B$  を積分

$D$  外  $\tilde{A}$  を積分

$\Rightarrow$

トポロジカル欠陥

$$\Rightarrow M = \partial D \quad \text{○} = 1$$

\* 2次元自由スカラーの T 双対は  
自己双対の点では普通の対称性

$\downarrow$   
 $SU(2) \times SU(2)$  の 1 部

$\rightarrow$  4次元のアーロジー?